



Defensa del Trabajo Fin de Máster



UNIVERSIDAD COMPLUTENSE
MADRID



FACULTAD DE
ESTUDIOS ESTADÍSTICOS

Xinyuan Zheng

2024-2025

MÁSTER EN CIENCIA DE DATOS E INTELIGENCIA DE NEGOCIOS

Análisis de la afluencia en estaciones de metro mediante modelos de Machine Learning basados en la interdependencia entre estaciones y factores espacio-temporales



Alumno: Xinyuan Zheng

Tutores: Manuel Núñez García
Manuel Méndez Hurtado

ÍNDICE

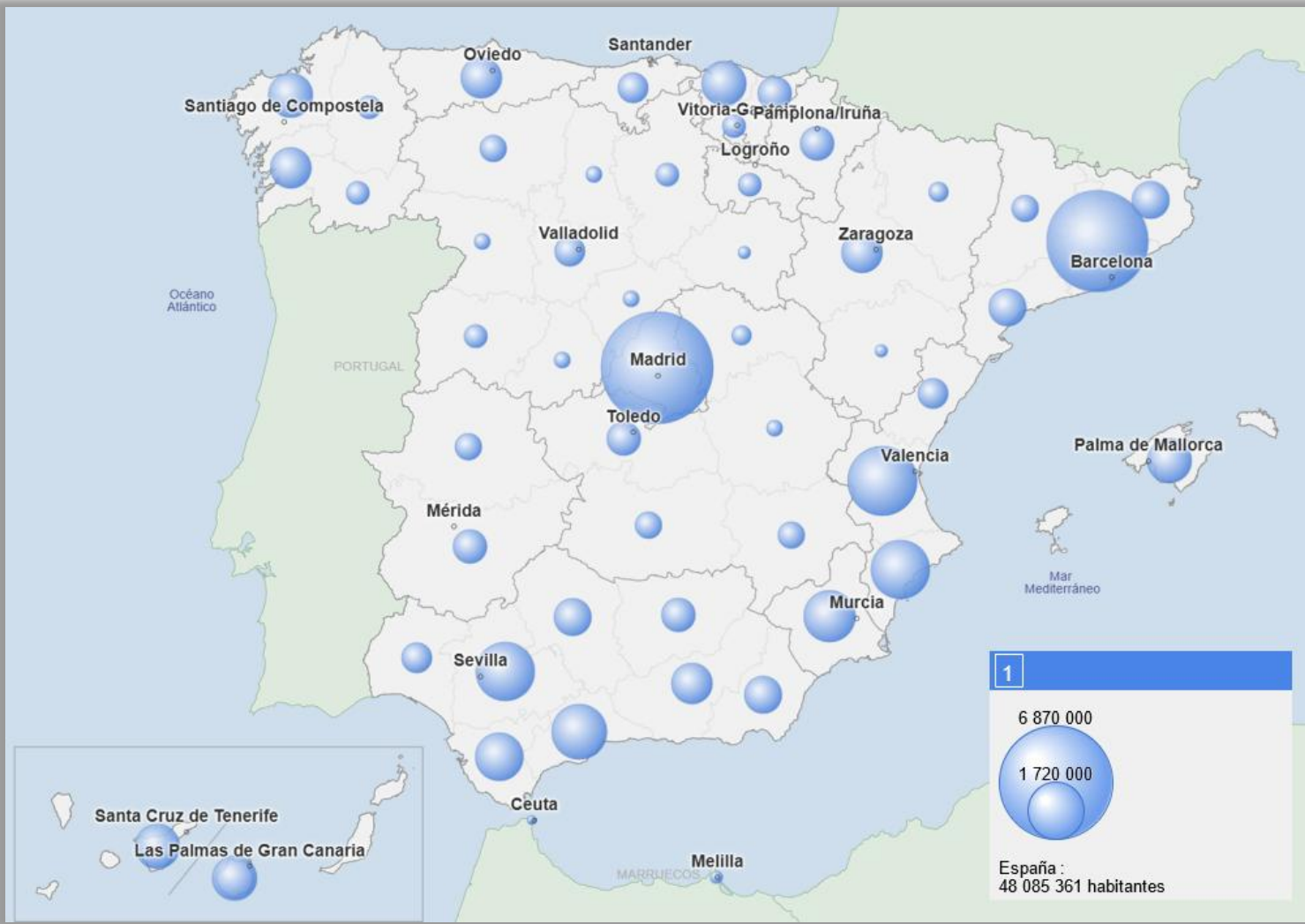


- 1 INTRODUCCIÓN Y CONTEXTO
- 2 OBJETIVOS
- 3 METODOLOGÍA
- 4 EXPLORACIÓN INICIAL
- 5 PREPARACIÓN DE DATOS
- 6 SELECCIÓN DE VARIABLES
- 7 CONSTRUCCIÓN DE MODELOS
- 8 EVALUACIÓN DE RESULTADOS
- 9 EVALUACIÓN DE RESULTADOS CON SAS
- 10 INTERPRETACIÓN DEL MODELO ÓPTIMO
- 11 OTRAS CONSIDERACIÓN SOBRE EL MODELO ÓPTIMO
- 12 CONCLUSIÓN Y FUTURAS LÍNEAS DE TRABAJO



1. INTRODUCCIÓN Y CONTEXTO

Fig. 1.1: Distribución de la población en España



En las últimas décadas, se puede observar una tendencia de movilidad de la población hacia las grandes ciudades.

Según el Ministerio de Vivienda, las grandes ciudades concentran el **69%** de la población española y el **76%** del empleo.

Esta concentración de la población trae nuevos retos en la movilidad urbana, especialmente como Madrid que cuenta con un casco urbano antiguo difícilmente modificado a gran escala. Por lo que el transporte subterráneo como el **metro** cobra cada vez más importancia.

2. OBJETIVOS



ESTADO DEL ARTE

Factores espaciales

- Conectividad
- Enrutamiento
- Direccionalidad

La mayoría de los estudios se centra en:

Factores externos

- Meteorología
- Hora del día
- Situación económica



- ❖ Limitación de conjunto de datos
- ❖ Metro Madrid solo dispone del número de viajeros que entra a cada estación, pero no la salida

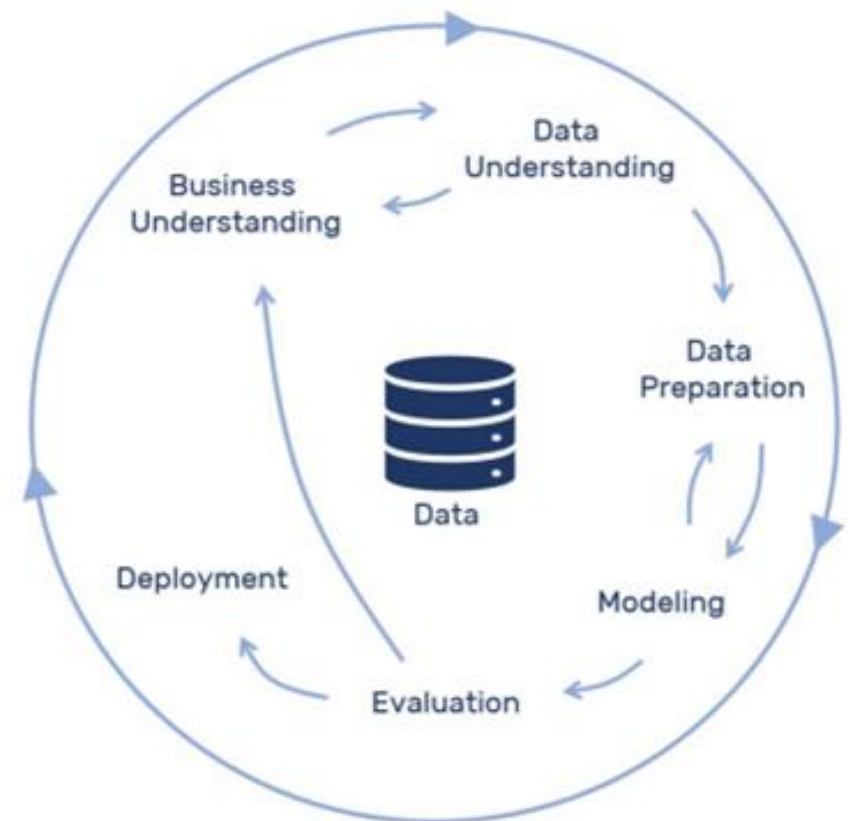
OBJETIVOS

Aprovechar la cantidad de datos disponibles en cada estación mediante la aplicación de técnicas de Machine Learning para encontrar el mejor modelo que permita estimar la afluencia de una estación a partir de sus estaciones próximas, así como de **factores espacio-temporales y climatológicos**.

3. METODOLOGÍA

CRISP-DM

Cross Industry Standard Process for Data Mining

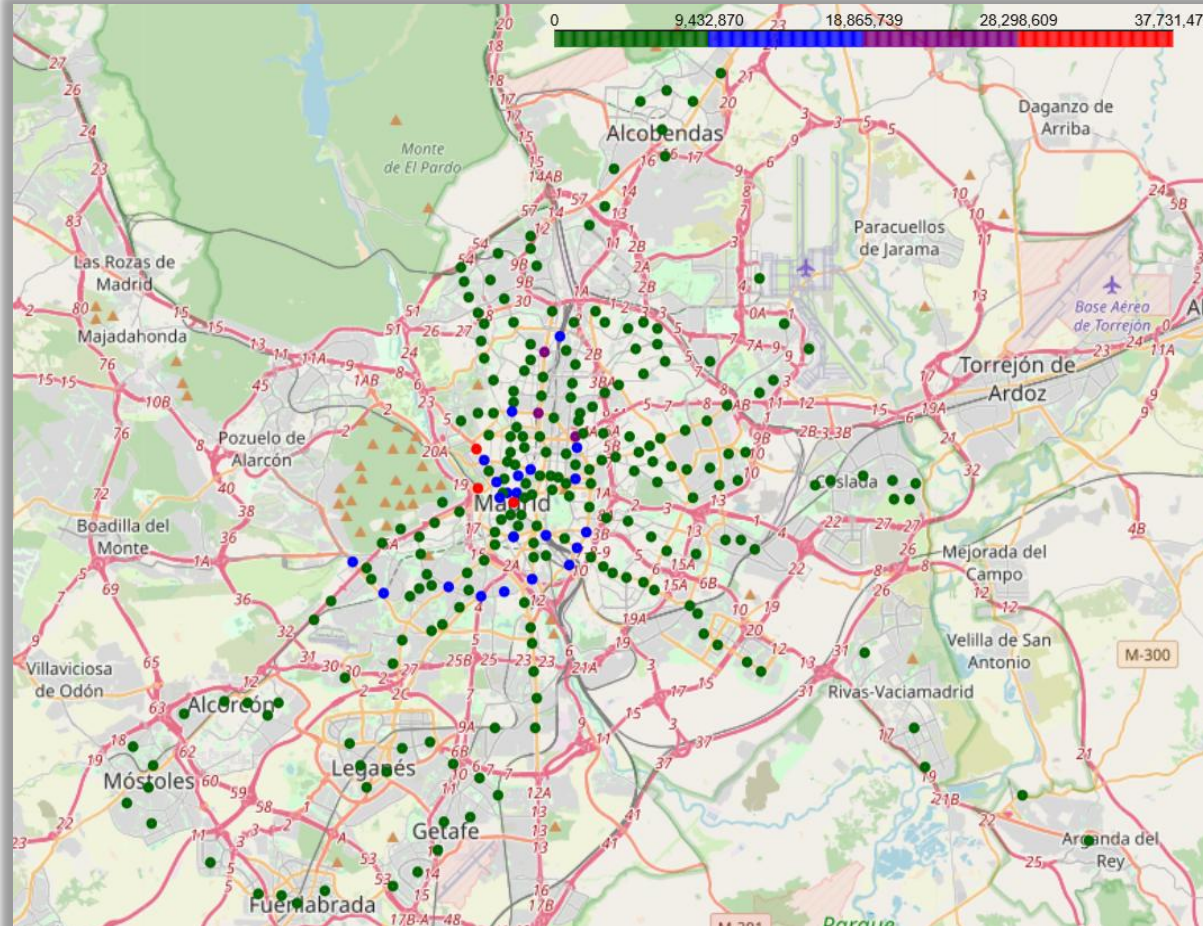


Fase CRISP-DM	Aplicación en el trabajo
1. Comprensión de negocio	<ul style="list-style-type: none"> - Introducción - Estado del arte - Objetivo
2. Comprensión de datos	<ul style="list-style-type: none"> - Orígenes y fuentes de datos - Integración de conjunto de datos - Selección espacial mediante distancias geográficas - Conjunto de datos inicial - Análisis Exploratorio de Datos (EDA) inicial
3. Preparación de datos	<ul style="list-style-type: none"> - Imputación de Valores NA's - Creación de Dummies y variables rezagadas (lags) - Estandarización de variables - Análisis Exploratorio de datos (EDA) post-preparación - Selección de variables
4. Modelado	<ul style="list-style-type: none"> - <i>Modelos individuales lineales:</i> <ul style="list-style-type: none"> · Regresión lineal · Lasso/Ridge - <i>Modelos de ensamblado:</i> <ul style="list-style-type: none"> · Random Forest · XGBoost · LightGBM - <i>Modelos no lineales:</i> <ul style="list-style-type: none"> · Redes Neuronales · SVM (SVR)
5. Evaluación	<ul style="list-style-type: none"> - Validaciones cruzadas - Métricas: R^2, RMSE
6. Despliegue	<ul style="list-style-type: none"> - Interpretación y muestreo del modelo final

4. EXPLORACIÓN INICIAL

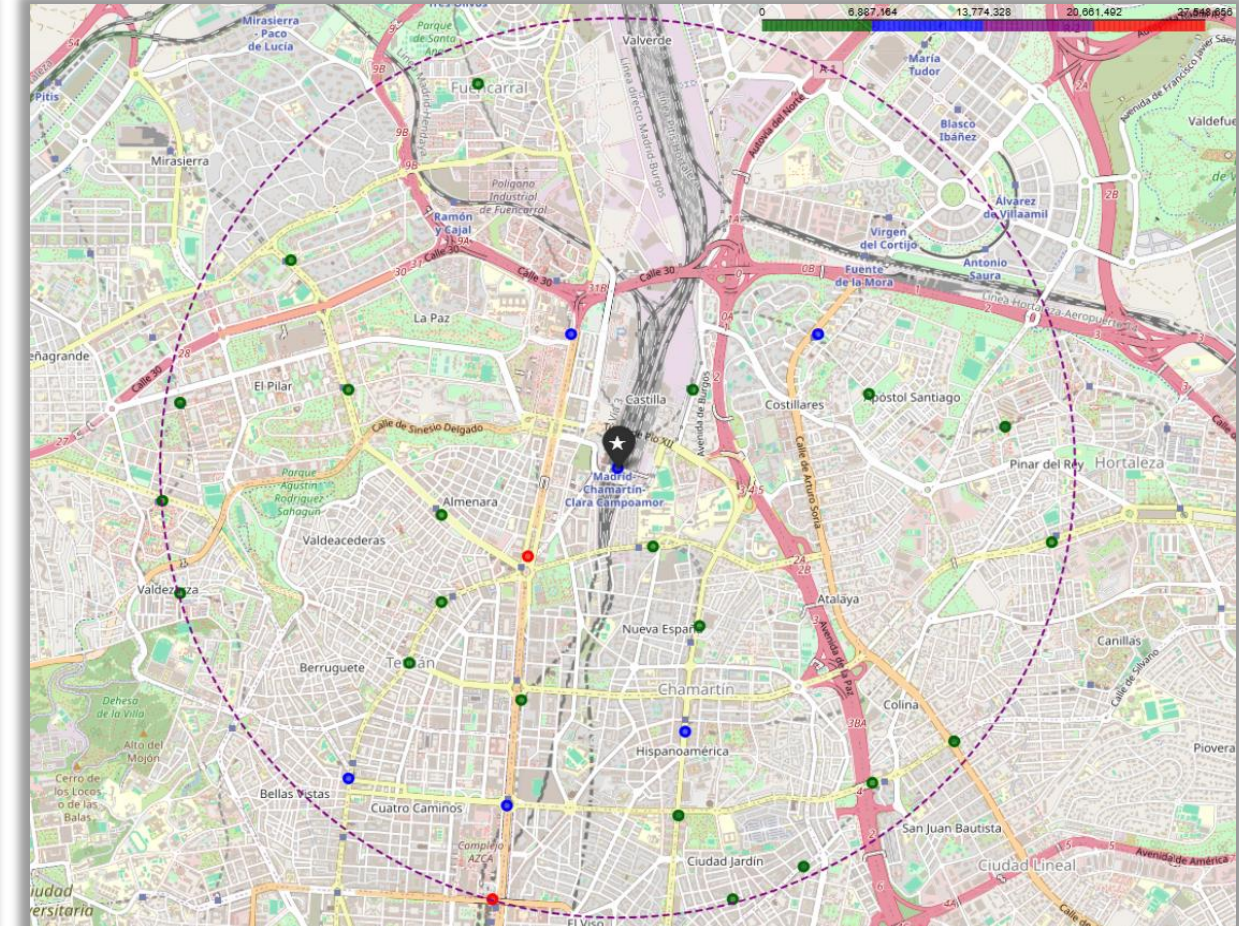
4.1. SELECCIÓN POR ÁREAS

Fig. 4.1: Estaciones totales de Metro Madrid



❖ VARIABLES ESPACIALES

Fig. 4.2: Estaciones próximas a 3km de radio de Chamartín



Variable Objetiva: Chamartín

4.2. VARIABLES EXTERNAS



❖ VARIABLES TEMPORALES

Variable	Descripción
Dia_semana	Día de la semana (lunes a domingo)
tipo_dia	Tipo de día según calendario laboral (laborable / fin de semana / festivo)

❖ VARIABLES CLIMATOLÓGIAS

Variable	Descripción
tmed	Temperatura media diaria
prec	Precipitación diaria de 07 a 07
velmedia	Velocidad media del viento
sol	Duración de insolación
hrMedia	Humedad relativa media diaria

4.3. ANÁLISIS EXPLORATORIO DE DATOS (EDA) INICIAL



❖ Proporción de valores atípicos

Valores que cumplen las 2 condiciones:

- Criterio de simetría (Z-score o MAD)
- Rango intercuartílico (IQR)

Variable	Proporción de valores atípicos
Santiago Bernabéu	0.00137

❖ Valores nulos (NA's)

Variable	Nº total de NA's	Períodos afectados
prec	18	Patrón aleatorio no secuencial
velmedia	1	2022-07-09
sol	3	2022-06-23 / 2022-09-20 / 2023-06-07
Concha Espina	33	2023-08-05 hasta 2023-09-03
Cruz del Rayo	33	2023-08-05 hasta 2023-09-03
Pinar del Rey	104	2022-02-13 hasta 2022-05-27
Santiago Bernabéu	1	2022-05-04

5. PREPARACIÓN DE DATOS

5.1. IMPUTACIÓN DE VALORES NA'S

❖ NA puntuales (1)

- Santiago de Bernabéu
- velmedia
- sol



Media aritmética del día **anterior** y **posterior**

JUNE						
SUN	MON	TUE	WED	THU	FRI	SAT
28	29	30	31	1	2	3
4	5	6	7	8	9	10
11	12	13	?	15	16	17
18	19	20	21	22	23	24
25	26	27	28	29	30	1

❖ NA's consecutivo modelado (33)

- Concha Espina
- Cruz del Rayo



Media aritmética del mismo día del mes **anterior** y **posterior**

MAY							JUNE							JULY						
SUN	MON	TUE	WED	THU	FRI	SAT	SUN	MON	TUE	WED	THU	FRI	SAT	SUN	MON	TUE	WED	THU	FRI	SAT
30	1	2	3	4	5	6	28	29	30	31	2	3	25	26	27	28	29	30	1	
7	8	9	10	11	12	13	4	5	6	7	9	10	2	3	4	5	6	7	8	
14	15	16	17	18	19	20	11	12	13	14	16	17	9	10	11	12	13	14	15	
21	22	23	24	25	26	27	18	19	20	21	23	24	16	17	18	19	20	21	22	
28	29	30	31	1	2	3	25	26	27	28	30	1	23	24	25	26	27	28	29	

❖ NA's consecutivo alto (104)

- Pinar del Rey



Variable descartada

❖ Caso especial prec (18)

- prec



Moda → valor 0

5.2. DUMMIES, LAGS Y ESTANDARIZACIÓN



❖ DUMMIES

- prec

- **prec_baja**
- **prec_media**
- **prec_alta**

- Dia_semana

- **Dia_semana_lunes**
- **Dia_semana_martes**
- **Dia_semana_miercoles**
- **Dia_semana_jueves**
- **Dia_semana_viernes**
- **Dia_semana_sabado**
- **Dia_semana_domingo**

- tipo_dia

- **tipo_dia_festivo**
- **tipo_dia_fin_de_semana**
- **tipo_dia_laborable**

❖ Variables rezagadas (lags)

- t-1: corresponde a 1 día antes
- t-2: corresponde a 2 día antes
- t-7: corresponde a 7 día antes

❖ Estandarización

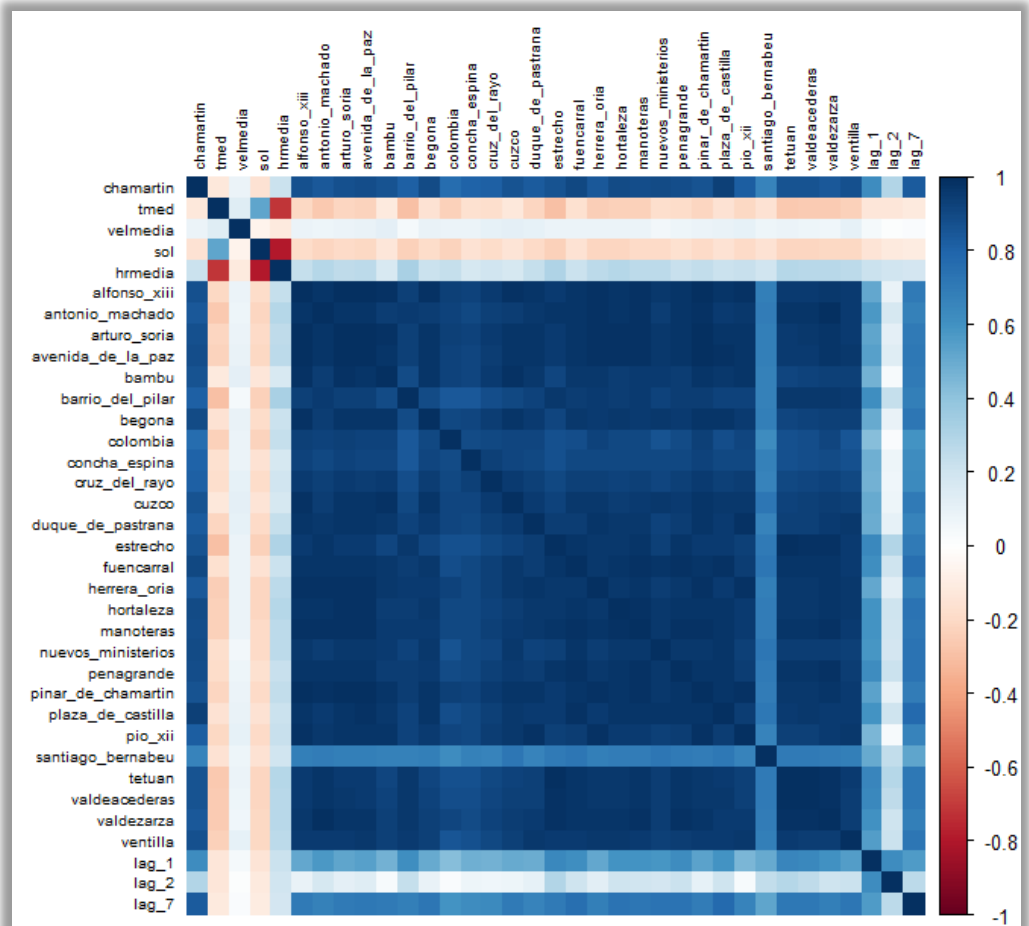
Se procede a estandarizar el conjunto de datos a media 0 y desviación típica 1.

Además de estandarizar los nombres de las columnas para eliminar los espacios, caracteres, mayúscula manteniendo una homogeneidad en el nombramiento.

5.3. ANÁLISIS DE LA MULTICOLINEALIDAD Y DISTRIBUCIÓN DE DUMMIES

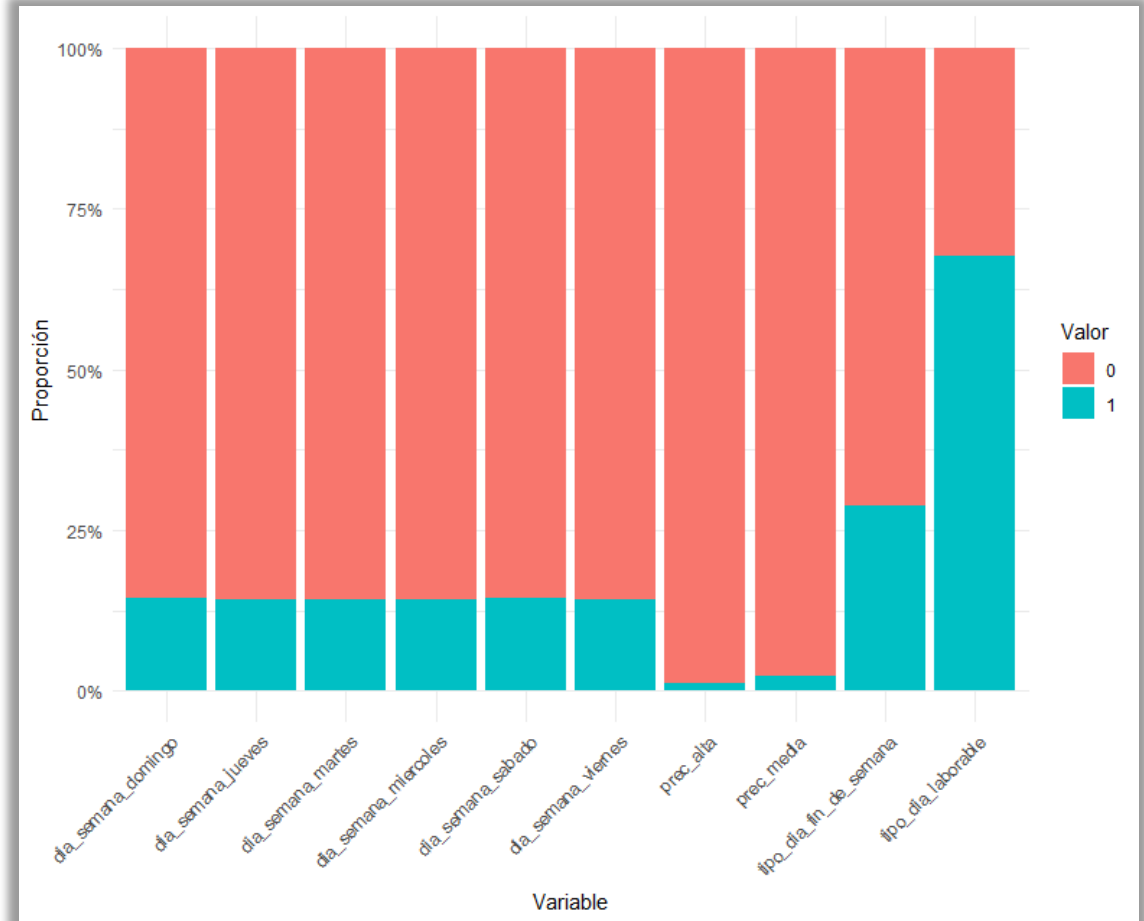


Fig. 5.1: Análisis de multicolinealidad mediante mapa de calor



- Presencia de multicolinealidad entre las variables predictoras

Fig. 5.2: Distribución de variables dummies



- Variables relevantes: tipo_dia_fin_de_semana y tipo_dia_laborable

6. SELECCIÓN DE VARIABLES



Métodos basados en criterios de información

- AIC (Akaike Information Criterion)
- BIC(Bayesian Information Criterion)
- LEAPS

Métodos de selección por penalización (regularización)

- Lasso
- Ridge

Métodos basados en importancia de variables (embedded)

- Random Forest

Métodos de selección tipo wrapper

- RFE (Recursive Feature Elimination)
- SBF (Selection By Filtering)
- Boruta

Métodos basados en independencia condicional

- MMPC (Max-Min Parents and Children)
- SES(Statistically Equivalent Signatures)

❖ Procedimiento de selección

1. Se entrena con el conjunto de variables para obtener la **mejor combinación de variables** según cada método.
2. Se realiza un reentrenamiento del método usando la mejor combinación de las variables devuelta en el procedimiento previo con la **validación cruzadas repetidas** de 10 pliegues (folds) y 10 repeticiones; en total **100 iteraciones** para obtener un resultado lo suficientemente consistente para la comparativa.

6. SELECCIÓN DE VARIABLES

Fig. 6.1: Resultados de los métodos de selección de variables

modelo	n_variables	MSE	RMSE
<fct>	<int>	<dbl>	<dbl>
1 AIC	26	0.0434	0.208
2 BIC	20	0.0438	0.209
3 LEAPS	21	0.0443	0.210
4 LASSO	42	0.0457	0.214
5 RFE	44	0.0458	0.214
6 RIDGE	44	0.0458	0.214
7 STEP_rep_AIC	18	0.0473	0.217
8 BORUTA	36	0.0508	0.225
9 STEP_rep_BIC	6	0.0515	0.227
10 RF	20	0.0547	0.234
11 MMPC	6	0.159	0.399
12 SES	4	0.181	0.425

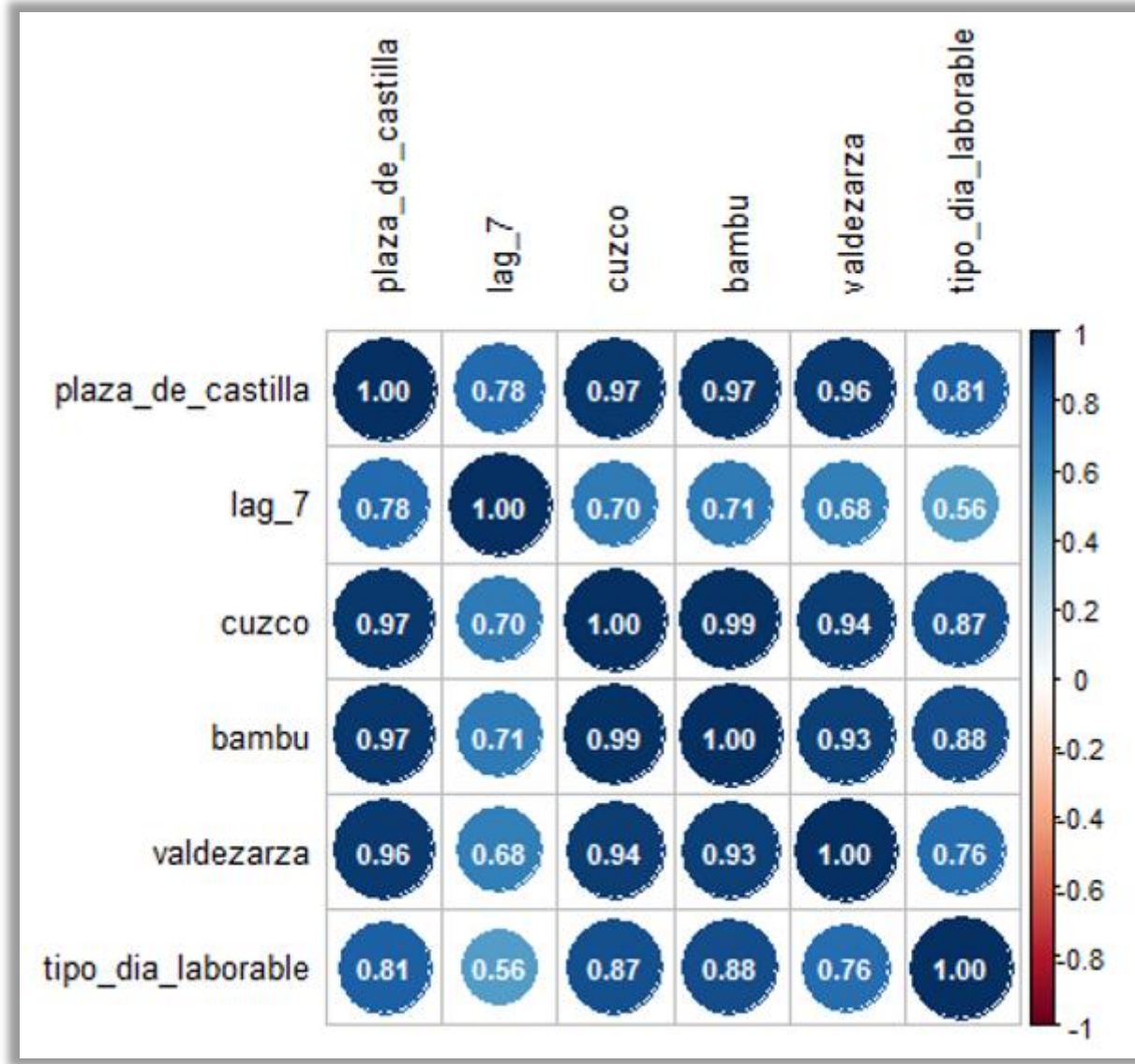
La combinación de variables que **mejor resultados** ofrece con respecto a la **menor complejidad** posible es mediante el método de **Stepwise Repetido BIC**.

	Variable	AIC	BIC	STEP_rep_AIC	STEP_rep_BIC	LEAPS	RFE	BORUTA	MMPC	SES	LASSO	RIDGE	RF
1	tmed					X	X			X	X		
2	velmedia						X	X	X		X	X	
3	sol	X	X						X	X	X	X	
4	hrmedia						X	X	X		X	X	
5	alfonso_xiii							X	X	X		X	X
6	antonio_machado	X	X				X	X	X		X	X	
7	arturo_soria						X	X	X		X	X	X
8	avenida_de_la_paz	X	X		X		X	X	X	X	X	X	
9	bambu	X	X		X		X	X	X		X	X	
10	barrio_del_pilar						X	X	X		X	X	X
11	begona	X			X			X	X		X	X	X
12	colombia	X	X		X		X	X	X		X	X	X
13	concha_espina							X	X		X	X	
14	cruz_del_rayo							X	X		X	X	X
15	cuzco	X	X		X		X	X	X		X	X	
16	duque_de_pastrana							X	X		X	X	X
17	estrecho	X	X				X	X	X		X	X	X
18	fuencarral	X	X				X	X	X		X	X	X
19	herrera_oria							X	X		X	X	X
20	hortaleza	X						X	X		X	X	
21	manoteras	X						X	X		X	X	
22	nuevos_ministerios							X	X	X	X	X	X
23	penagrande	X	X				X	X	X	X	X	X	X
24	pinar_de_chamartin	X						X	X	X	X	X	X
25	plaza_de_castilla	X	X		X			X	X	X	X	X	X
26	pio_xii	X			X			X	X	X	X	X	X
27	santiago_bernabeu							X	X		X	X	X
28	tetuan							X	X		X	X	
29	valdeacederas							X	X		X	X	
30	valdezarza	X			X			X	X		X	X	X
31	ventilla	X	X		X			X	X		X	X	X
32	prec_alta				X				X		X	X	
33	prec_media								X		X	X	
34	dia_semana_martes	X	X		X			X	X		X	X	
35	dia_semana_miércoles	X	X		X			X	X		X	X	
36	dia_semana_jueves	X	X		X			X	X		X	X	
37	dia_semana_viernes	X	X		X			X	X		X	X	
38	dia_semana_sabado	X	X					X	X		X	X	
39	dia_semana_domingo	X	X					X	X		X	X	
40	tipo_dia_laborable	X	X		X			X	X		X	X	
41	tipo_dia_fin_de_semana				X			X	X		X	X	
42	lag_1	X	X		X			X	X		X	X	X
43	lag_2				X			X	X		X	X	X
44	lag_7	X	X		X			X	X		X	X	X

6.1. REVISIÓN DE LA MULTICOLINEALIDAD



Fig. 6.2: Resultados de los métodos de selección de variables



❖ Factor de Inflación de la Varianza (VIF)

Variable	VIF
plaza_de_castilla	40.877544
lag_7	3.121079
cuzco	45.685197
bambu	52.314683
valdezarza	14.354910
tipo_dia_laborable	6.022752

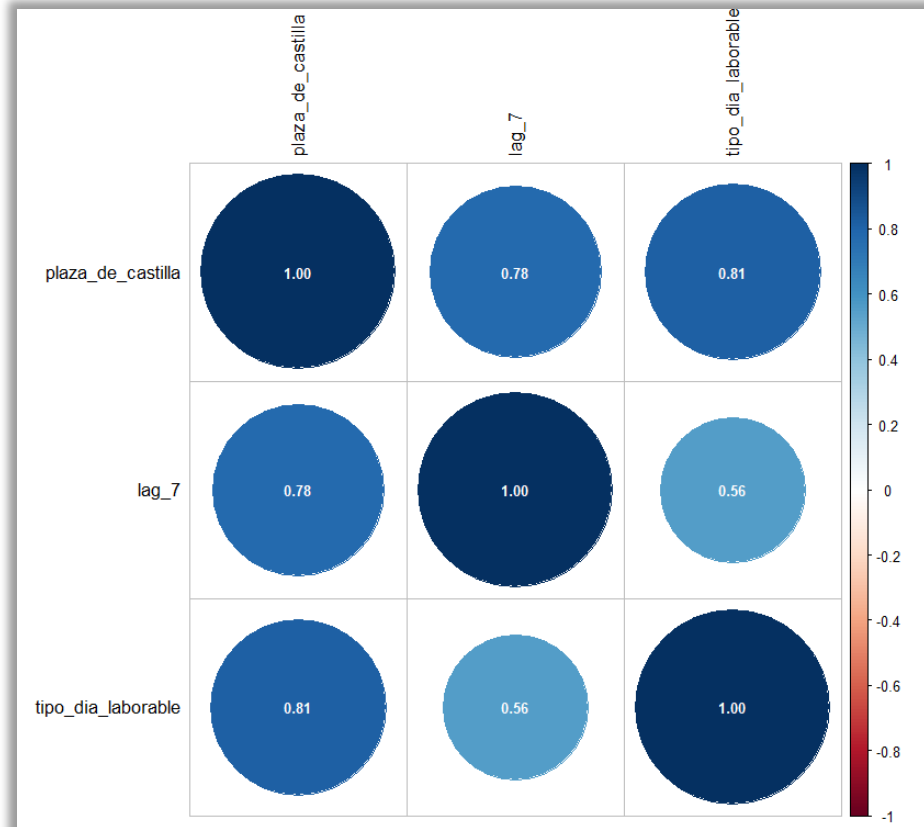
Según el mapa de calor, se puede percibir el problema de la **alta correlación** entre algunas variables explicativas.

Mediante el VIF se muestra que ciertas variables superan el umbral de VIF=10, por lo que se confirma la existencia de la **multicolinealidad**.

6.2. REDUCCIÓN DE VARIABLES POR MULTICOLINEALIDAD



Fig. 6.3: Análisis de multicolinealidad tras el ajuste



El método Stepwise Repetido BIC ajustado, muestra una estructura mas sencilla de variables predictoras sin afectar mucho en el rendimiento.

❖ Factor de Inflación de la Varianza (VIF) final

Variable	VIF
plaza_de_castilla	5.295454
lag_7	2.627384
tipo_dia_laborable	3.036607

Tras descartar las variables con mayor valor VIF, la combinación resultante muestra una correlación más aceptable y un valor de VIF por debajo de 10.

Cuadro 6.1: Comparativa del método de selección de variable tras el ajuste

Modelo	Nº variables	RMSE	R ²
STEP_rep_BIC	6	0.222	0.950
STEP_rep_BIC (ajustado)	3	0.280	0.922

7. CONSTRUCCIÓN DE MODELOS



❖ Procedimiento de construcción del modelo

Modelos individuales lineales:

- Regresión lineal
- Lasso
- Ridge

Modelos de ensamblado:

- Random Forest
- XGBoost
- LightGBM

Modelos no lineales:

- Redes Neuronales
- SVM(SVR)

1. A partir del conjunto de variables obtenidos mediante la selección de variables se construye el modelo con el objetivo de definir la **mejor combinación de hiperparámetro** mediante “**fine tuning**”.
2. Se selecciona la mejor combinación de hiperparámetro teniendo en cuenta un balance entre el mejor rendimiento (**menor RMSE**) y la menor complejidad posible (**más simples**).
3. Se realiza un reentrenamiento del modelo usando la mejor combinación de los hiperparámetros mediante la **validación cruzada repetidas** de 10 pliegues (folds) y 10 repeticiones; en total **100 iteraciones** para obtener un resultado lo suficientemente consistente para la comparativa final.

7.1. MODELOS INDIVIDUALES LINEALES

❖ Regresión Lineal

Intercept	RMSE	R²	MAE	RMSESD	R²SD	MAESD
TRUE	0.280276	0.9221544	0.2122853	0.04670524	0.02462576	0.02009624

Lasso/ Ridge → parámetro de regularización (λ) que minimiza el error de validación

❖ Lasso ($\alpha = 1$)

$$\lambda_{\text{óptimo}} = 0.001843085$$

RMSE	R²	MAE
0.2803189	0.9221134	0.2123291

❖ Ridge ($\alpha = 0$)

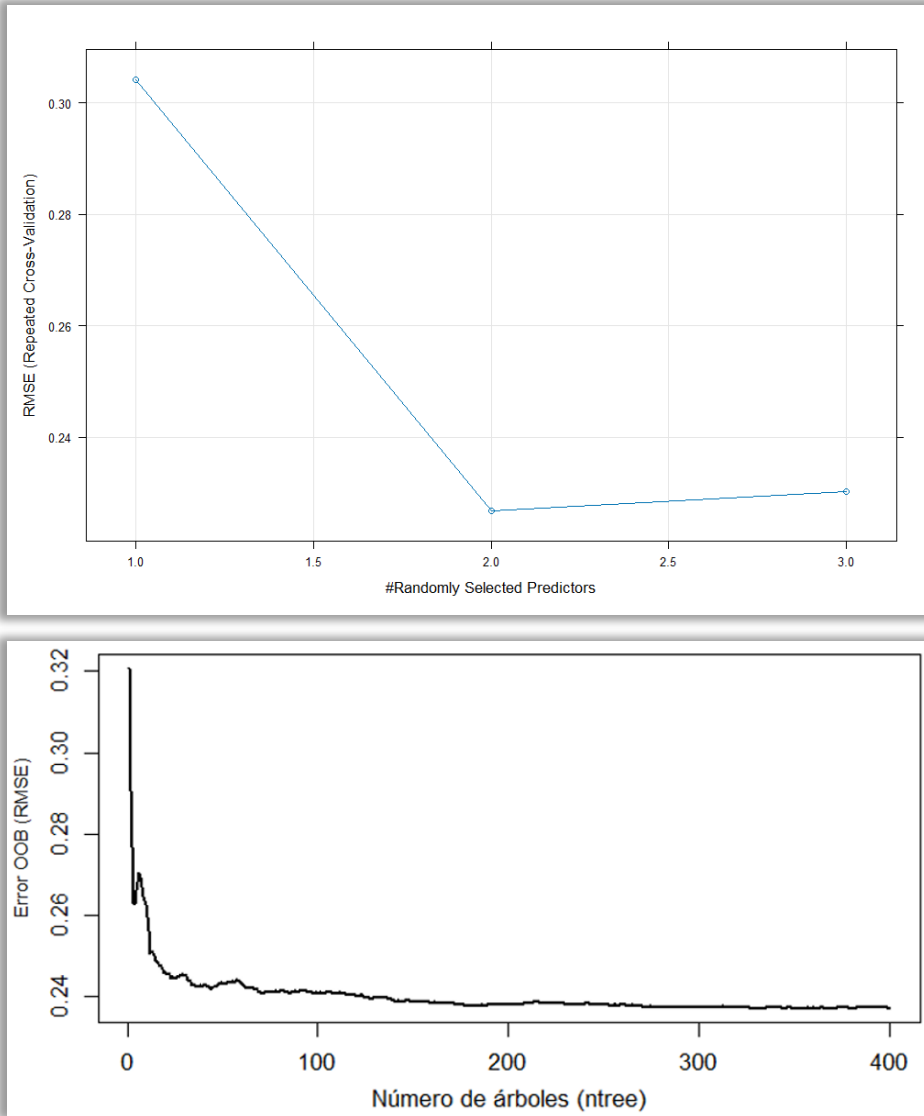
$$\lambda_{\text{óptimo}} = 0.09388932$$

RMSE	R²	MAE
0.3015469	0.9123395	0.2279584

7.2. MODELOS DE ENSAMBLADOS

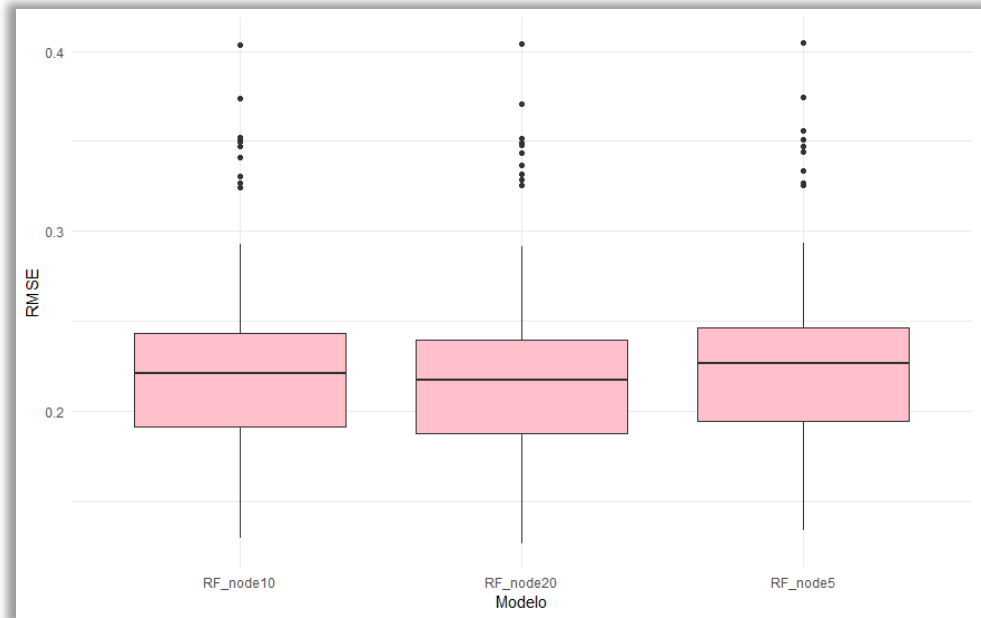
❖ Random Forest

Fig. 7.1: Fine tuning del mtry y ntree



mtry: {1, **2**, 3} # nº var. usada en cada nodo
ntree: {100, **200**, 300, 400} # nº árboles generados
nodesize: {5, 10, **20**} # nº mín. obs. en cada nodo terminal

Fig. 7.2: Fine tuning del nodesize

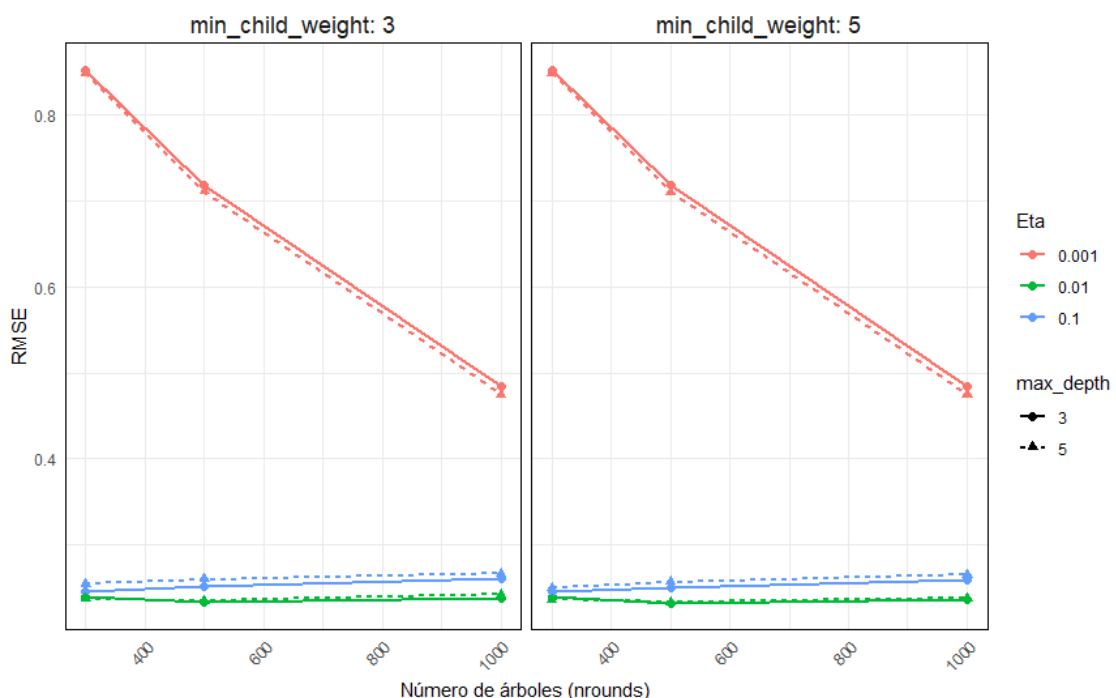


mtry	RMSE	R²	MAE	RMSESD	R²SD	MAESD
2	0.2251605	0.9487059	0.150004	0.05283123	0.02378044	0.01935885

7.2. MODELOS DE ENSAMBLADOS

❖ XGBoost

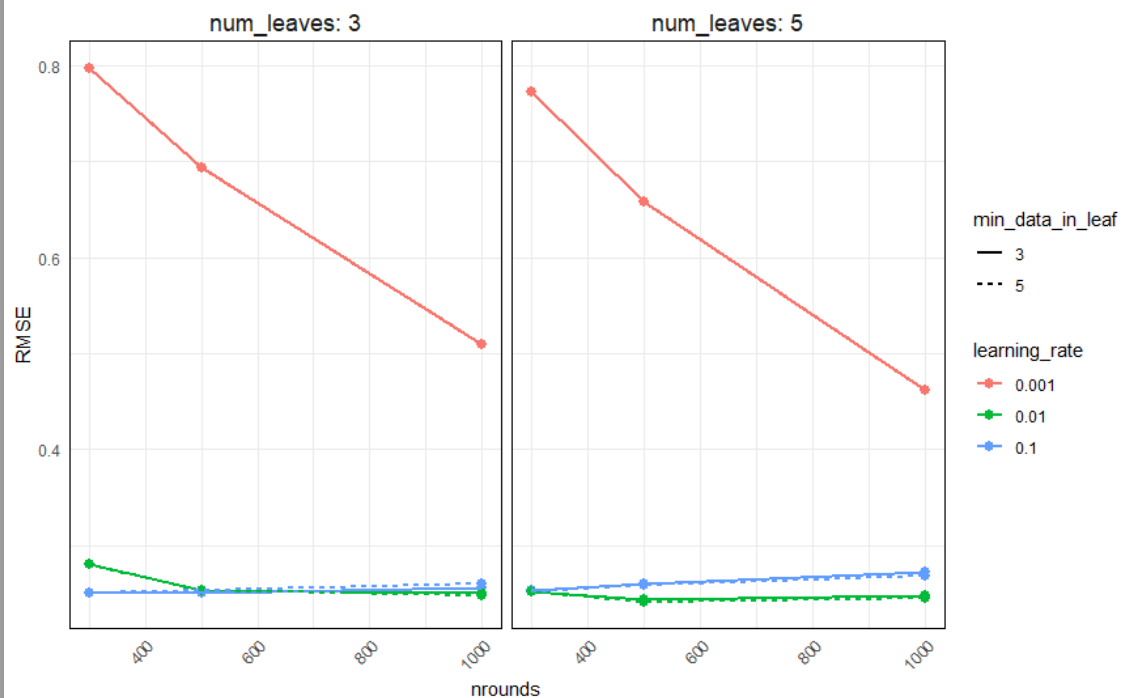
```
min_child_weight: {3, 5} # nº mín. obs. en nodo hijo
eta : {0.1, 0.01, 0.001} # learning rate, contribución cada árbol
max_depth : {3, 5} # profundidad max. cada árbol
nrounds : {300, 500, 1000} # nº iteraciones/árbol
```



nrounds	eta	max_depth	gamma	colsample_bytree	min_child_weight	
500	0.01	3	0	1	5	
subsample	RMSE	R ²	MAE	RMSESD	R ² SD	MAESD
1	0.2314668	0.946073	0.1589347	0.05127528	0.02360878	0.01975624

❖ LightGBM

```
min_data_in_leaf: {3, 5} # nº mín. obs. en hoja terminal
learning_rate: {0.1, 0.01, 0.001} # tasa aprendizaje
num_leaves: {3, 5} # nº máx. hojas por árbol
nrounds: {300, 500, 1000} # nº iteraciones/árbol
```



Modelo	RMSE	R ²	MAE
LGBM	0.250832	0.9371698	0.1678948

7.3. MODELOS NO LINEALES



❖ Red Neuronal

$$\frac{\text{Nº observaciones}}{\text{Nº obs/parámetro}} = \text{parám. máx. recomendados}$$

$$\frac{723}{20} = 36,15 \text{ parámetros máx. recomendados}$$

$$\text{Nº parámetros} = h(k + 1) + h + 1$$

$$36,15 = h(3 + 1) + h + 1$$

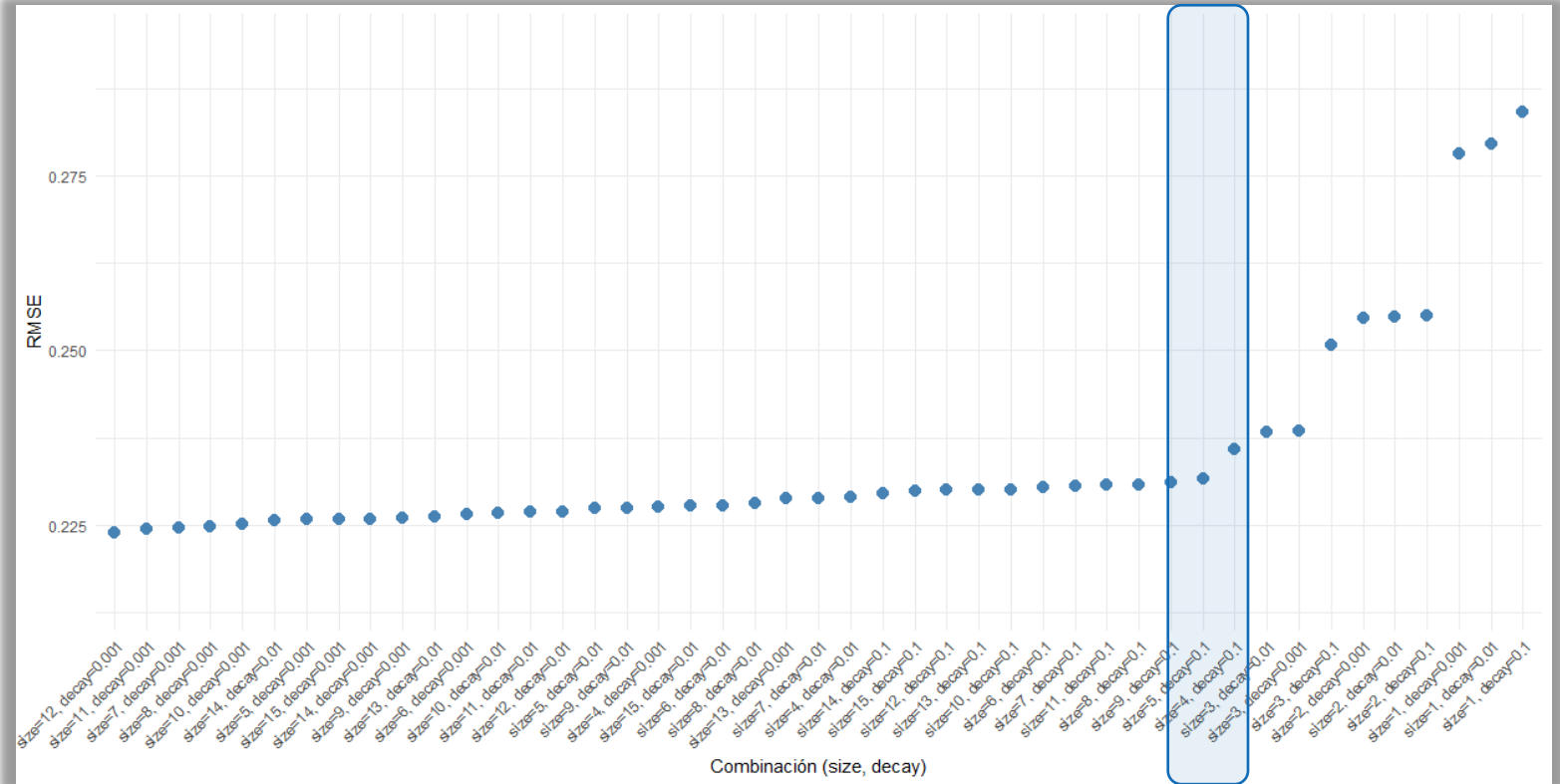
$$36,15 = 5h + 1$$

$$h = \mathbf{7,03 \text{ nodos máx.}}$$

h: número de nodos ocultos

k: número de variables explicativas empleadas en el modelo.

Fig. 7.5: Fine tuning simple de la Red neuronal con nodos 1 a 15

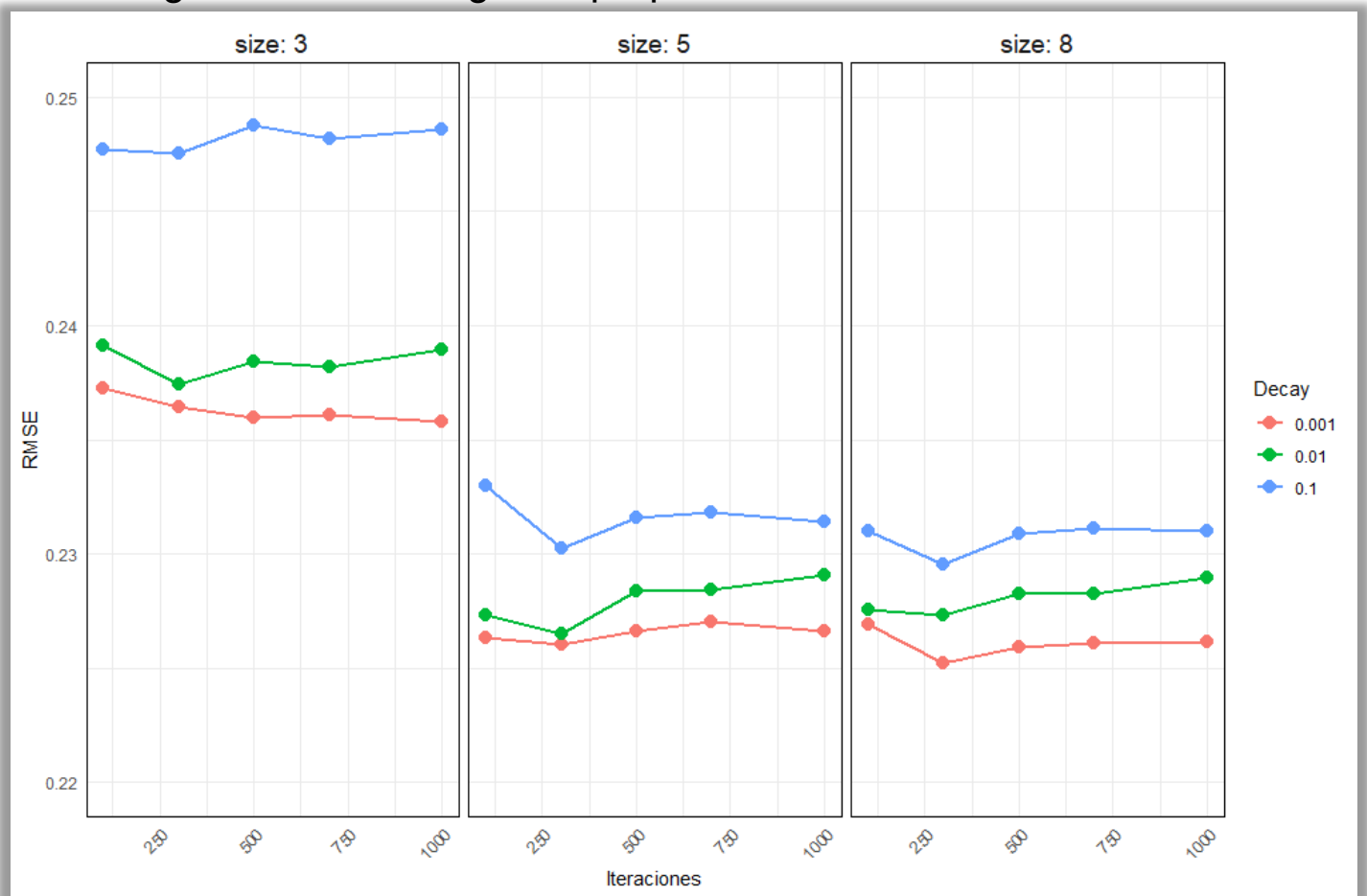


7.3. MODELOS NO LINEALES

❖ Red Neuronal

size : {3, 5, 8} # n° nodos en capa oculta
 decay : {0.1, 0.01, 0.001} # par. regularización
 iter: {100, 300, 500, 700, 1000} # n° máx. iteraciones

Fig. 7.6: Fine tuning de hiperparámetros de la Red neuronal



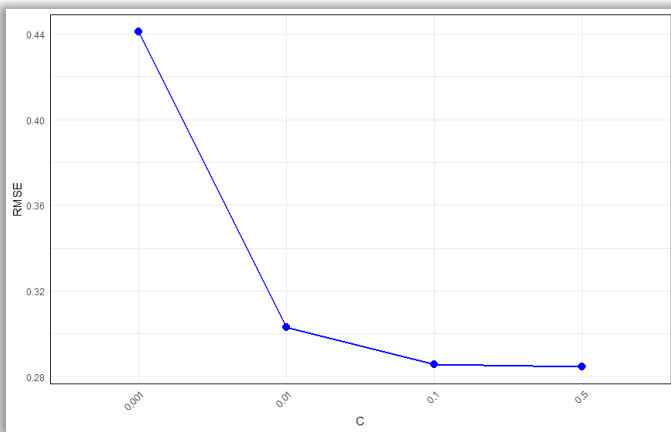
size	decay	bag	RMSE	R^2	MAE	RMSESD	R^2 SD	MAESD
5	0.1	FALSE	0.2308	0.9465	0.1602	0.0488	0.0226	0.0176

7.3. MODELOS NO LINEALES

❖ SVR Lineal

$C : \{0.5, \textcolor{blue}{0.1}, 0.01, 0.001\}$ # par. regularización

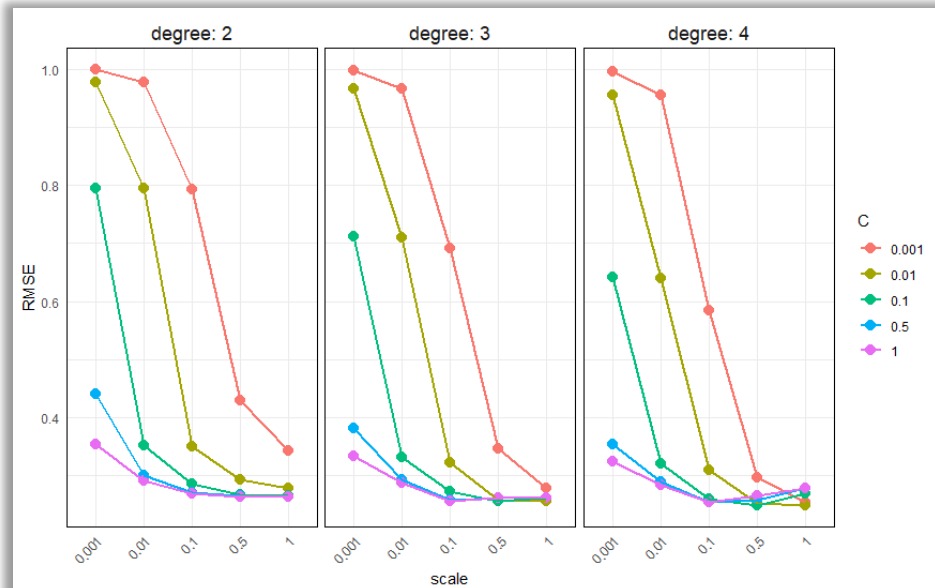
Fig. 7.7: Fine tuning de hiperparámetros de SVR Lineal



❖ SVR Polinomial

degree : {**2**, 3, 4 } # grado polinomial
 scale : {1, 0.5, **0.1**, 0.01, 0.001 } # escala entrada
 $C : \{1, 0.5, \textcolor{blue}{0.1}, 0.01, 0.001\}$ # par. regularización

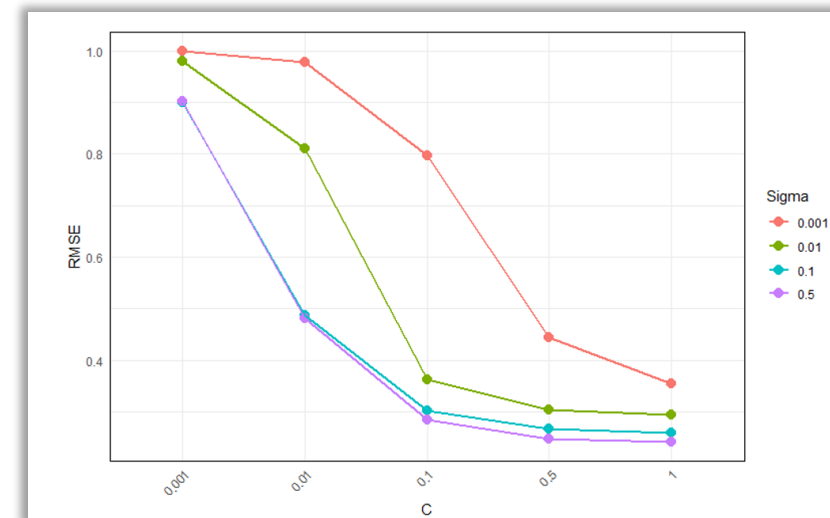
Fig. 7.8: Fine tuning de hiperparámetros de SVR Polinomial



❖ SVR Radial (RBF)

sigma : {0.001, 0.01, **0.1**, 0.5} # amplitud función de la base radial
 $C : \{1, 0.5, \textcolor{blue}{0.1}, 0.01, 0.001\}$ # par. regularización

Fig. 7.9: Fine tuning de hiperparámetros de SVR Radial (RBF)



RMSE	R ²	MAE
0.2858566	0.9204151	0.207427

RMSE	R ²	MAE
0.2864518	0.9202174	0.2039351

RMSE	R ²	MAE
0.3009869	0.9132075	0.2115539

8. EVALUACIÓN DE RESULTADOS

8.1. SELECCIÓN DEL MODELO ÓPTIMO

Fig. 8.1: Comparación de modelos finales según R^2

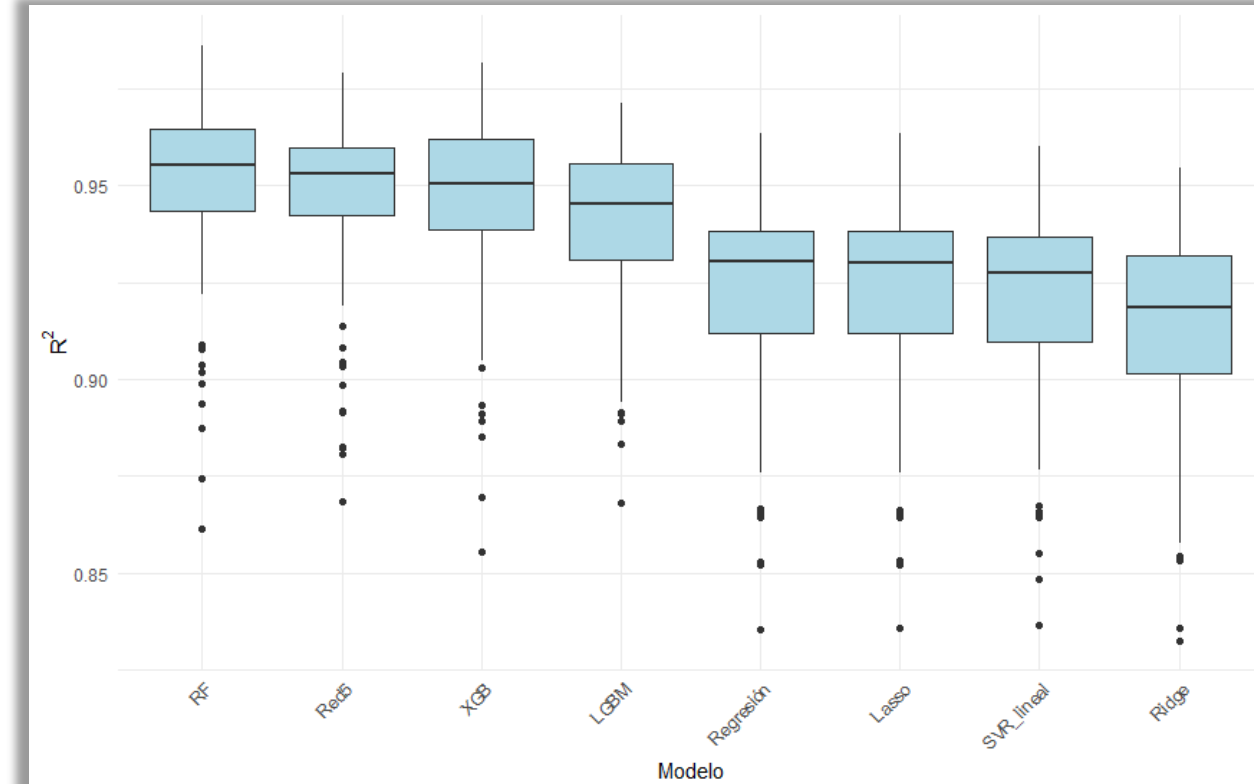
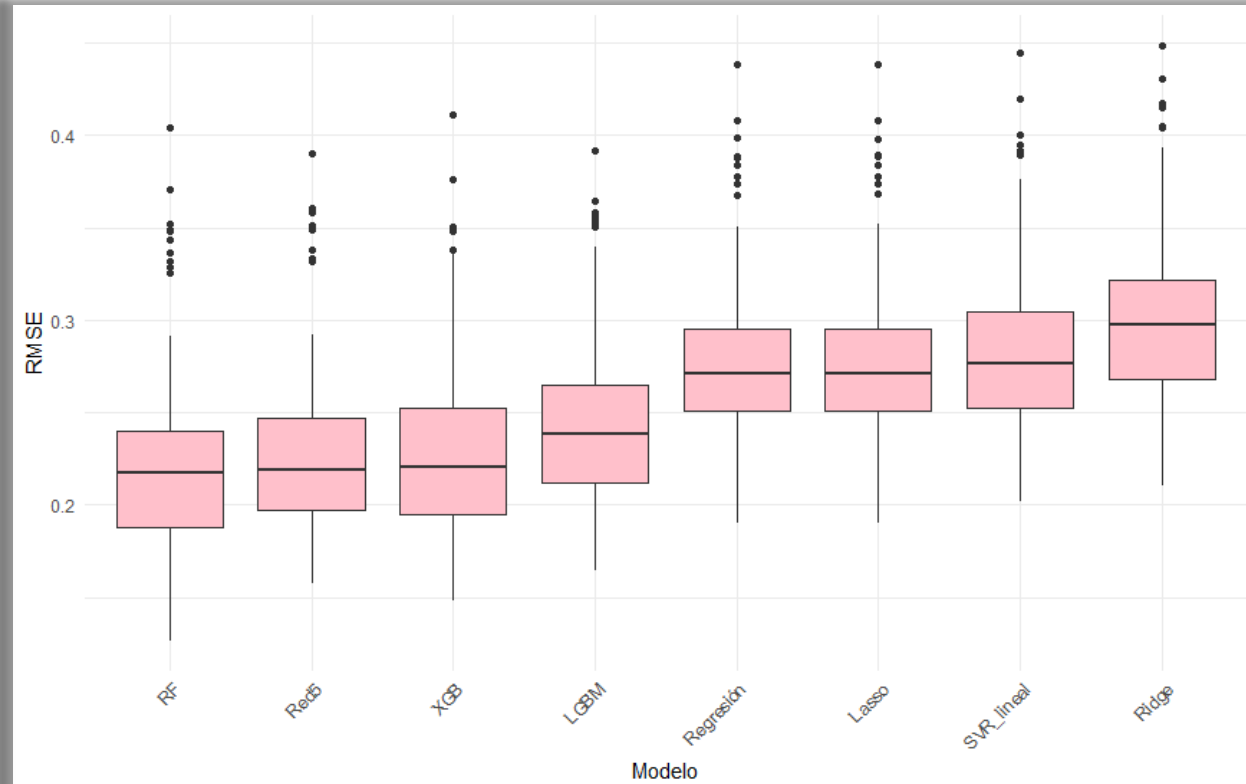


Fig. 8.2: Comparación de modelos finales según RMSE



Comparando los resultados de los modelos según R^2 y $RMSE$, se confirma que el modelo óptimo es el **Random Forest**, obteniendo el mayor R^2 y el menor $RMSE$ entre todos los modelos de la comparativa.

9. EVALUACIÓN DE RESULTADOS CON SAS

Fig. 9.1: Resumen de errores del train=100% con SAS

Modelo seleccionado	Nodo predecesor	Nodo del modelo	Descripción del modelo	Variable target	Train: Average Squared Error ▲	Train: Root Mean Squared Error
Y	Boost	Boost	Gradient Boosting	chamartin	0.035759	.
	Neural	Neural	Red neuronal 5	chamartin	0.048359	0.22397
	Reg	Reg	Regresión	chamartin	0.079729	0.283148

Empleando el **100%** del conjunto de datos para el entrenamiento (**train**) se muestra que los modelos ensamblados tipo **Gradient Boosting** y los modelos tipo Red Neuronal consiguen mejorar el error cometido por la regresión lineal.

Fig. 9.1: Resumen de errores del train/validation (70/30) con SAS

Modelo seleccionado	Nodo predecesor	Nodo del modelo	Descripción del modelo	Variable target	Valid: Average Squared Error ▲	Valid: Root Mean Square Error	Valid: Root Average Squared Error
Y	Neural2	Neural2	Red neuronal 5	chamartin	0.058238	0.241327	0.241327
	Boost2	Boost2	Gradient Boosting	chamartin	0.067493	.	0.259795
	Reg2	Reg2	Regresión	chamartin	0.090725	0.301205	0.301205

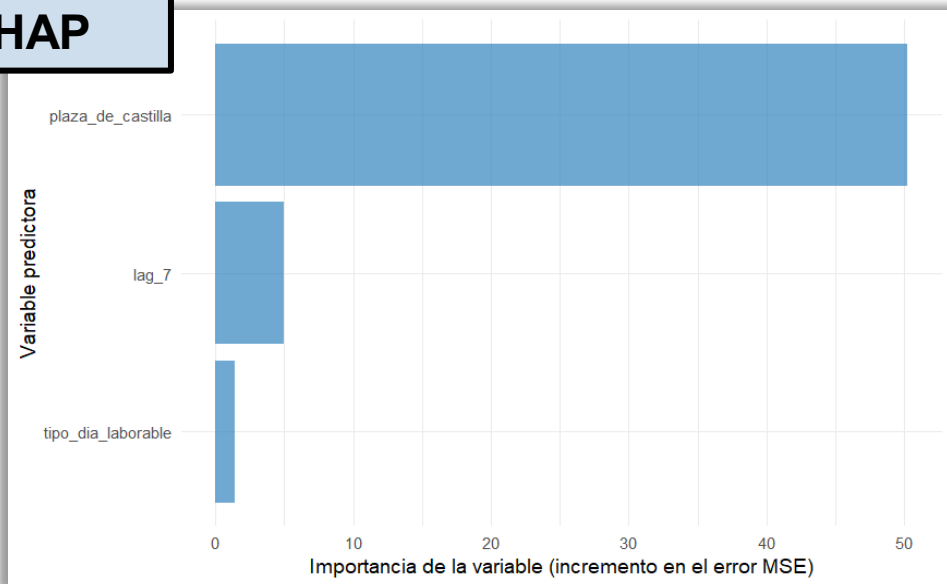
Realizando una partición en **train/validation** al **70/30**, se puede observar un resultado similar, aunque esta vez el modelo de **Red Neuronal** muestra un menor error en la parte del conjunto de datos para la validación con respecto al Gradient Boosting.

El resultado obtenido mediante SAS respalda las conclusiones tomadas en la diapositiva, los modelos de Machine Learning tipo Red Neuronal y modelos ensamblados como Random Forest, XGBoost o LightGBM ofrece mejores resultados que la regresión lineal para este conjunto de datos.

10. INTERPRETACIÓN DEL MODELO ÓPTIMO

❖ SHAP

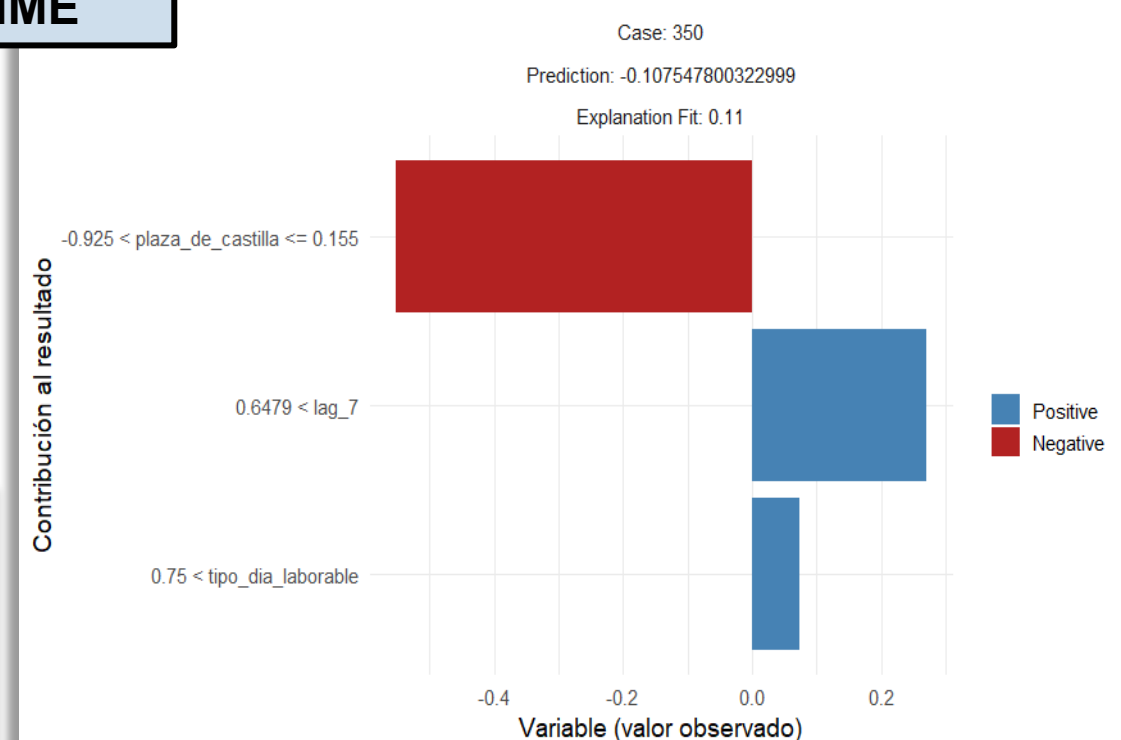
Fig. 10.1: Importancia de variables con SHAP



10.1. RANDOM FOREST

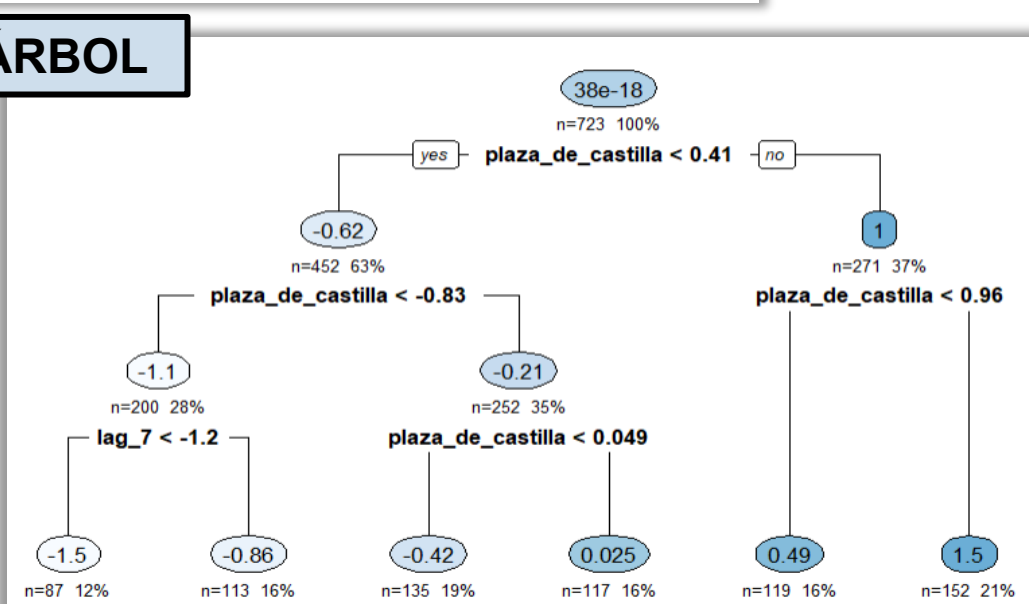
❖ LIME

Fig. 10.2: Explicabilidad local mediante LIME



❖ ÁRBOL

Fig. 10.3: Árbol representativo del Random Forest



La estación **Plaza de Castilla** es la variable que más contribuye en la estimación de la afluencia que entra al Chamartín.



11.1. REGRESIÓN LINEAL

Fig. 11.1: Coeficientes del modelo de regresión lineal

```
Coefficients:
              Estimate Std. Error t value Pr(>|t|)
(Intercept)    0.23769   0.02854   8.328 4.13e-16 ***
plaza_de_castilla 0.88303   0.02423  36.440 < 2e-16 ***
lag_7          0.24348   0.01707  14.264 < 2e-16 ***
tipo_dia_laborable -0.35142   0.03922 -8.961 < 2e-16 ***
---
Signif. codes:  0 '****' 0.001 '**' 0.01 '*' 0.05 '.' 0.1 ' ' 1
```

❖ ECUACIÓN

$$\text{Chamartín} = 0.23769 + 0.88303 * \text{plaza_de_castilla} + 0.24348 * \text{lag}_7 - 0.35142 * \text{tipo_dia_laborable}$$

La mejora de rendimiento del Random Forest con respecto a la regresión lineal es bastante reducido con respecto a la complejidad del modelo que conlleva. A la hora de tener que interpretar la influencia de las variables explicativas sobre la variable objetiva, el **modelo de regresión lineal** sigue siendo la más adecuado para este trabajo.

12. CONCLUSIÓN Y FUTURAS LÍNEAS DE TRABAJO



El modelo óptimo obtenido del proceso de modelado es el **Random Forest**.

Sin embargo, para un proyecto real con necesidad de llevar el modelo a la fase de producción, la pequeña mejora del rendimiento y error que muestra el Random Forest no justifica su implementación debido a que se trata de un modelo más complejo y complicado de interpretar por su mecanismo de funcionamiento.

Mientras tanto, el modelo de **Regresión Lineal** se presentará como la **mejor opción** gracias a su estructura más sencilla y de ser más fácil de interpretar la influencia de cada variable sobre la objetiva mediante el valor de los coeficientes, tal como el objetivo del presente trabajo.

Una de las principales limitaciones del presente proyecto, es la **escasez de observaciones** en el conjunto de datos y la **escasez de variables predictoras** de calidad acorde al objetivo de investigación del presente trabajo.

Como recomendación de futuras líneas de investigación, sería recomendable trabajar con un conjunto de datos más extenso y con mayor diversidad de variables explicativas para poder desarrollar modelos predictivos más avanzados, así como **técnicas de ensamblados** para combinar diferentes modelos de Machine Learning, así como modelos tradicionales tipo ARIMA para los conjuntos de datos tipo series temporales, como el que se ha utilizado en el presente trabajo.



GRACIAS

Lenguaje de programación	Entorno de desarrollo (IDE)	Versión
Python	PyCharm 2024.2.3	Python 3.12
R	RStudio 2024.12.0+467	R 4.4.1
SAS	SAS Enterprise Miner Workstation 14.1	SAS 9.4

